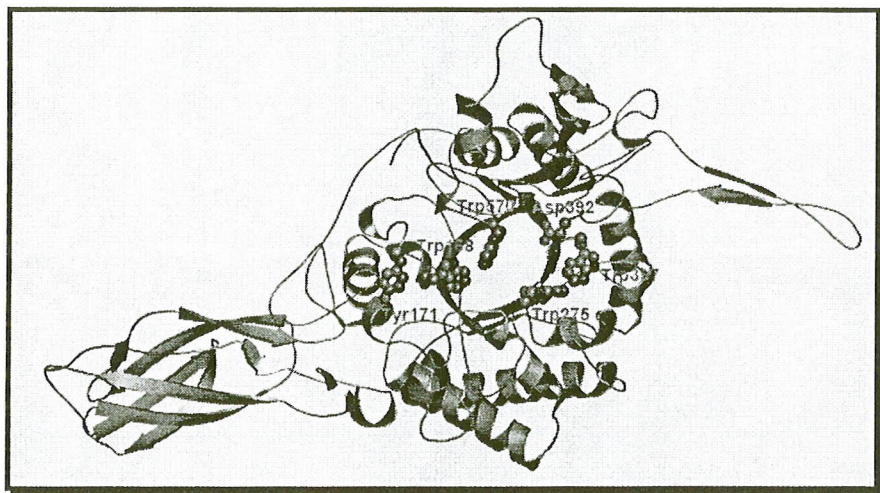


## บทที่ 3

### ผลการวิจัยและข้ออวิจารณ์

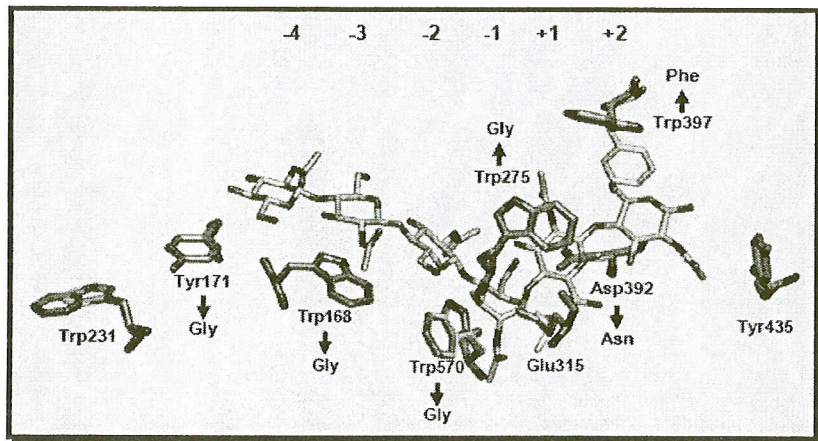
#### 3.1. การศึกษาผลของการกลยุทธ์ของกรดอะมิโนที่บีบริเวณเร่ง

งานวิจัยเริ่มต้นที่ทำการออกแบบสังเคราะห์ mutagenic primer เพื่อทำการเปลี่ยนกรดอะมิโนวงแหวนที่บีบริเวณเร่งของเอนไซม์โคดีเนส เอ ทั้งหมด Trp168 Tyr171 Trp275 Trp397 และ Trp570 จากการเปรียบเทียบลำดับของกรดอะมิโนของเอนไซม์นี้กับโคดีเนสจากแบคทีเรียอื่น ๆ และจากแบบจำลองโครงสร้างสร้างสามมิติของเอนไซม์โคดีเนสที่ใช้โครงสร้างสามมิติของโคดีเนส เอ จากเชื้อ *Serratia marcescens* เป็นต้นแบบพบว่ากรดอะมิโนทั้งหมดนี้มีลักษณะ conserved และมีการจัดเรียงตัวอยู่ที่ส่วนบนของ TIM barrel domain ดังแสดงในรูปที่ 3.1



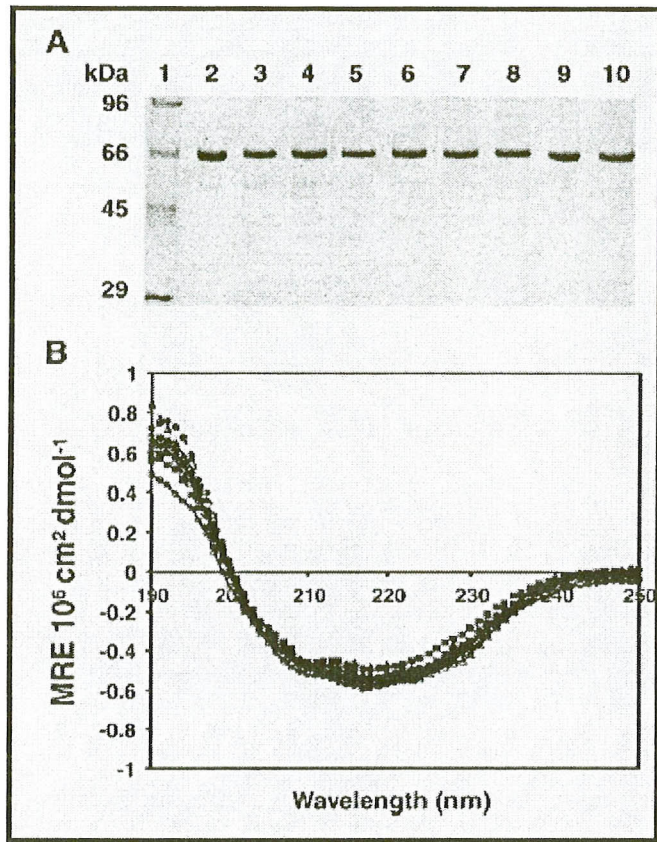
รูปที่ 3.1 แบบจำลองโครงสร้างสามมิติของโคดีเนส เอ จากแบคทีเรีย *V. carchariae* ที่แสดงตำแหน่งของกรดอะมิโนวงแหวน Trp168 Tyr171 Trp275 Trp397 และ Trp570 ที่บีบริเวณด้านบนของ TIM barrel domain (แหล่งที่มา Suginta et al., BBA-General Subjects, 2007)

การทดลองเปลี่ยน Trp168 Tyr171 Trp275 Trp397 และ Trp570 โดยเทคนิค site-directed mutagenesis ทำให้ได้ single mutant 5 ตัวคือ W168G Y171G W275G W397F และ W570G มี double mutant 1 ตัว (คือ W397F/W570G) มี triple mutant 1 ตัวคือ W397F/W570G/ W275G และมี quadruple mutant 1 ตัวคือ W397F/W570G/W275G/Y171G กรดอะมิโนเหล่านี้จัดเรียงอยู่ในบริเวณจับกับสับสเตรท 6 บริเวณคือ (-4)(-3)(-2)(-1)(+1)(+2) ดังแสดงในรูปที่ 3.2



รูปที่ 3.2 การจัดเรียงตัวของกรดอะมิโนวงแหวนที่บริเวณเร่งของโคตีเนส เอ ที่เป็นเป้าหมายของการกลาจ พันธุ์ (แหล่งที่มา Suginta et al., BBA-General Subjects, 2007)

หลังจากการตรวจสอบความถูกต้องของการเปลี่ยนชนิดของนิวคลีโอไทด์ด้วยการทำ sequencing ได้ศึกษาการแสดงออกของรีคอมบิแนต์โปรตีนในเซลล์เจ้าบ้าน *E. coli* สายพันธุ์ M15 พบว่า เซลล์สามารถผลิตโปรตีนออกปริมาณมาก เมื่อยาหน้าด้วย IPTG ความเข้มข้น 0.5 mM อุณหภูมิ 25°C เป็นเวลา 18 ชั่วโมง จึงทำบริสุทธิ์ด้วย Ni-NTA affinity chromatography และจะโปรตีนออกด้วย 250 mM imidazole พบว่าได้โปรตีนโคตีเนส เอ มีความบริสุทธิ์สูง (รูปที่ 3.3.A) และปริมาณของโปรตีนที่ผลิตได้คือ 10-15 mg โปรตีนบริสุทธิ์ต่อเซลล์ 1 ลิตร การวิเคราะห์โครงสร้างระดับทุติยภูมิด้วย CD spectroscopy พบว่าลักษณะของ CD spectra ของโปรตีนกลาจพันธุ์มีความคล้ายคลึงกับของโปรตีน wild-type (รูปที่ 3.3B) แสดงว่ากรดอะมิโนที่ได้ทำการเปลี่ยนแปลงไม่ส่งผลกระทบกับโครงสร้างโดยรวมของโปรตีน DNA



รูปที่ 3.3 การวิเคราะห์เอนไซม์โคตีเนส เอ หลังทำการกลাযพันธุ์

- (A) SDS-PAGE ของโปรตีนกลাযพันธุ์ที่ทำบริสุทธิ์ด้วยเทคนิค Ni-NTA agarose affinity chromatography  
 (B) CD spectra ของโปรตีนกลাযพันธุ์ที่บริสุทธิ์ (แหล่งที่มา Suginta et al., BBA-General Subjects, 2007)

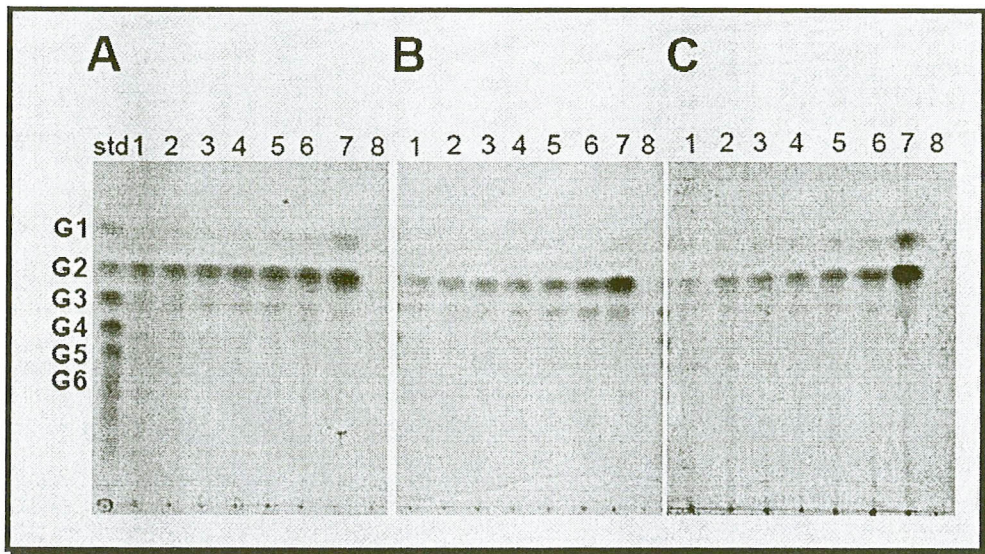
การตรวจหาค่า specific hydrolyzing activity ของเอนไซม์กลাযพันธุ์เทียบกับเอนไซม์ wild-type โดยดูการสลายของ pNP-GlcNAc<sub>2</sub> และ colloidal chitin พบว่าโปรตีนกลাযพันธุ์ทั้งหมดยกเว้น W397F ให้ค่า specific activity ต่ำกว่าค่าของโปรตีน wild-type สำนัก W397F ให้ค่า specific activity ของการสลาย pNP-GlcNAc<sub>2</sub> ลงเป็น 142 เท่าและให้ค่าที่ไม่แตกต่างกันในสลาย colloidal chitin ของค่าที่ได้จาก wild-type (ตารางที่ 3.1)

ตารางที่ 3.1 ค่า specific hydrolyzing activity ของโปรตีน wild-type และโปรตีนกลาหยพันธุ์ (แหล่งที่มา Suginta et al., BBA-General Subjects, 2007)

Chitinase A variant	Specific hydrolyzing activity	
	( $\times 10^{-3}$ $\mu\text{mol } p\text{NP}/\text{min}/\mu\text{g}$ ) <sup>a</sup>	( $\mu\text{mol reducing sugars}/\text{min}/\mu\text{g}$ ) <sup>b</sup>
Wild-type	1.84 ± 0.05 (100) <sup>c</sup>	1.99 ± 0.018 (100)
D392N	0.61 ± 0.09 (33.4)	n.d. <sup>d</sup>
W168G	0.24 ± 0.03 (13.0)	n.d.
Y171G	0.36 ± 0.00 (19.5)	n.d.
W275G	0.20 ± 0.00 (11.1)	0.10 ± 0.001 (5.0)
W397F	2.61 ± 0.08 (141.8)	2.04 ± 0.061 (102.5)
W570G	0.11 ± 0.00 (5.6)	n.d.
Double mutant (W570G/W397F)	0.10 ± 0.002 (5.5)	n.d.
Triple mutant (W570G/W397F/W275G)	0.01 ± 0.001 (0.6)	n.d.
Quadruple mutant (W570G/W397F/W275G/Y171G)	0.01 ± 0.001 (0.6)	n.d.

<sup>a</sup> Chitinase activity was measured using *p*NP-[GlcNAc]<sub>2</sub>, and release of *p*NP was detected by the colorimetric method.  
<sup>b</sup> Chitinase activity was measured using colloidal chitin, and release of reducing sugars was detected by the DMAB method.  
<sup>c</sup> Values in brackets represent relative activity compared to that of wild-type (set as 100).  
<sup>d</sup> n.d. represents no detectable activity.

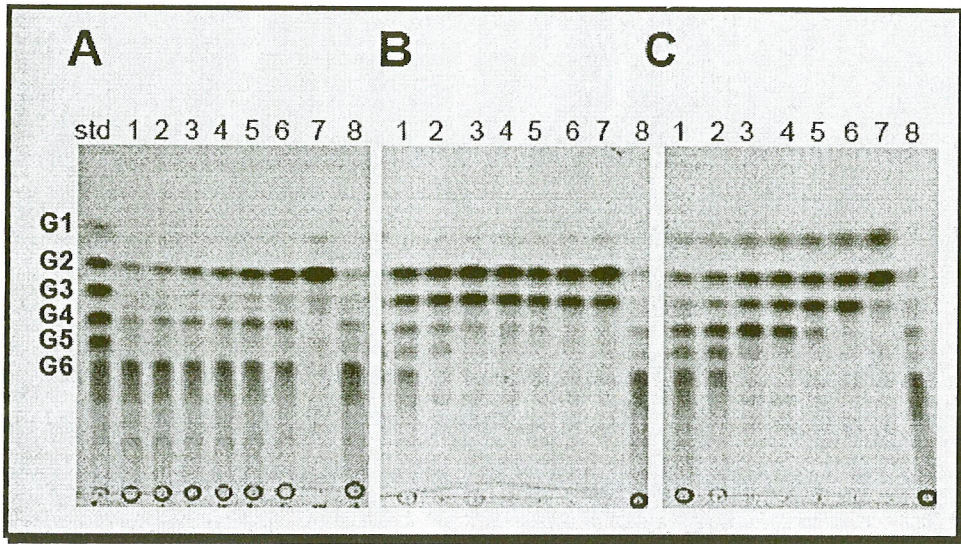
ผลการทดลองที่ได้จากตารางที่ 3.2 ให้ข้อสรุปว่าการเปลี่ยนกรดอะมิโนวงแหวนยกเว้น W397 มีผลต่อการสลายของสับเสตราทไม่เลกูลเล็ก ๆ และไคตินโพลิเมอร์ จากการวิเคราะห์ชนิดของผลิตผลน้ำตาลที่ได้จากการสลาย colloidal chitin และไคโตโอลิกไซคาร์โรเด็กานาด 2-6 หน่วย ( $\text{NAG}_2\text{-NAG}_6$ ) พบร่วมโปรตีนกลาหยพันธุ์ W168G, Y171G, W570G ไม่สามารถสลายไคตินได้ที่เวลา 18 ชั่วโมง ส่วนโปรตีน W275G และ W397F สามารถสลาย colloidal chitin ได้ที่เวลาของการบ่มตั้งแต่ 2.5 นาที ถึง 18 ชั่วโมง ได้น้อยลงแต่ไม่เปลี่ยนแปลงรูปแบบการสลายไคตินมากนักเมื่อเทียบกับ wild-type โดยผลิตผลหลักที่ได้คือ  $\text{NAG}_2$  และผลิตผลรองคือ  $\text{NAG}_1$  ดังแสดงในรูปที่ 3.4



รูปที่ 3.4 การวิเคราะห์ทาง TLC แสดงการสลาย colloidal chitin ด้วย A) wild-type B) W275G และ C) W397F ซึ่ง std คือ G1-G6 standard mix; 1-7 คือเวลาในการบ่ม 2, 5, 10, 15, 30, 60 นาที และ 18 ชั่วโมง และ 8 คือ substrate blank (แหล่งที่มา Suginta et al., BBA-General Subjects, 2007)

ส่วนผล TLC แสดงถึงโปรตีนทุกดัวไม่สามารถสลาย NAG<sub>2</sub> ได้เลยและ W275G เป็นโปรตีนตัวเดียวที่สลาย NAG<sub>3</sub> ได้เป็น NAG<sub>2</sub>+NAG<sub>1</sub> และโปรตีนที่สลายน้ำตาล NAG<sub>4</sub>-NAG<sub>6</sub> ได้ดีกว่า wild-type คือ W275G และ W397F การศึกษาผลของเวลาในการบ่มต่อการสลายน้ำตาล G6 ของโปรตีน glycanase สองตัวนี้เทียบกับ wild-type พบว่า W275G สลาย NAG<sub>6</sub> ได้เป็นน้ำตาล NAG<sub>2</sub>+NAG<sub>3</sub> เป็นหลัก ส่วนโปรตีน W397F สลายน้ำตาล NAG<sub>6</sub> ให้เป็นตัวกลางขนาดต่าง ๆ ตั้งแต่ NAG<sub>1</sub>-NAG<sub>5</sub> และที่เวลาของการบ่มเป็น 18 ชั่วโมงจะได้ผลิตผลที่เป็น NAG<sub>2</sub>+NAG<sub>1</sub> ซึ่งลักษณะการย่อยน้ำตาล NAG<sub>6</sub> ของโปรตีน glycanase สองตัวไปจากโปรตีน wild-type อย่างสิ้นเชิง (รูปที่ 3.5) โดยที่ผลิตผลหลักของการสลาย NAG<sub>6</sub> ของ wild-type คือน้ำตาล NAG<sub>2</sub>+NAG<sub>4</sub>



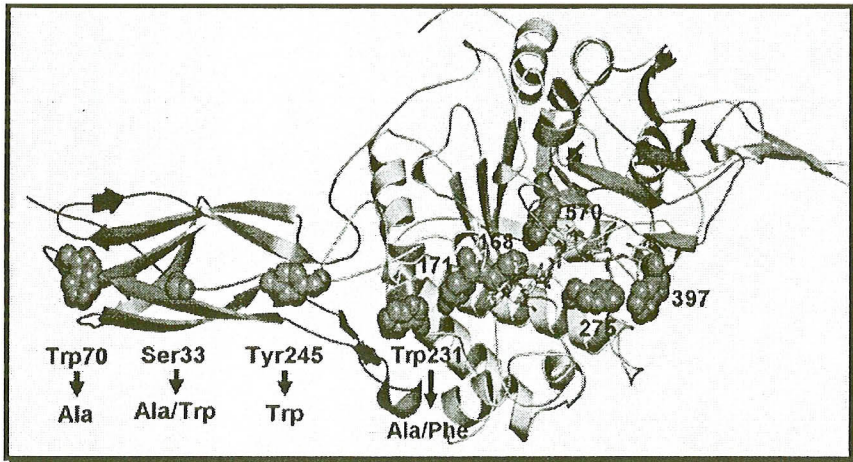


รูปที่ 3.5 การวิเคราะห์ทาง TLC ที่แสดงรูปแบบการสลาย hexaNAG ด้วย A) wild-type B) W275G และ C) W397F ซึ่งที่ std คือ G1-G6 standard mix; 1-7 เกลาที่ใช้ในการบ่มตั้งแต่ 2, 5, 10, 15, 30, 60 นาที และ 18 ชั่วโมง; 8 คือ substrate blank (ແแหล่งที่มา Suginta et al., BBA-General Subjects, 2007)

จากรูปที่ 2 พนับจากกรดอะมิโน W275 จัดเรียงตัวอยู่ในตำแหน่ง จับที่ -1 ส่วนกรดอะมิโน W397 จะอยู่ในบริเวณจับสุดท้ายคือ +2 กรดอะมิโนทั้งสองน่าจะเป็นตัวกำหนดการจับของน้ำตาล NAG<sub>6</sub> ให้เข้ามาอยู่ในตำแหน่งที่เหมาะสมที่จะทำให้เกิดการย่อยที่พันธะที่สองจากด้านรีดิวซ์เพื่อให้ได้ผลิตผลเป็น NAG<sub>2</sub>+NAG<sub>4</sub> การเปลี่ยนแปลงชนิดของกรดอะมิโนทำให้กรดอะมิโน Trp275 และ Trp397 ศูนย์เสียความสามารถในการเลือกจับแบบจำเพาะทำให้ผลิตผลที่แตกต่างไปจากเดิมมาก

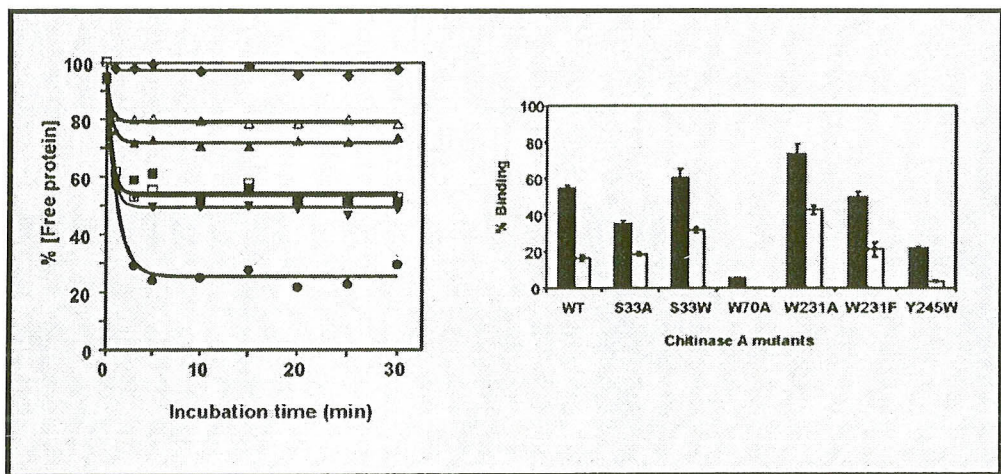
### 3.2. การศึกษาผลของการกลยุพันธุ์ที่บริเวณจับกับไคติน

งานวิจัยต่อมาคือทำการออกแบบสังเคราะห์ mutagenic primer เพื่อทำการเปลี่ยนกรดอะมิโนที่ conserved ที่บริเวณจับกับไคติน (chitin binding domain, ChBD) ของเอนไซม์ไคตินेस เอ สองตัวคือ Ser33 และ Trp70 บริเวณด้านนอกบริเวณเร่งที่ติดกับ ChBD จึงสองตัวคือ Trp231 และ Tyr245 จากการเปรียบเทียบลำดับของกรดอะมิโนของเอนไซม์นี้กับไคตินेशากแบบที่เรียกว่า “α” และจากแบบจำลองโครงสร้างสร้างสามมิติของเอนไซม์ไคตินेसที่ใช้โครงสร้างสามมิติของไคตินेस เอ จากเชื้อ *S. marcescens* เป็นต้นแบบพบว่ากรดอะมิโนทั้งหมดนี้มีลักษณะ conserved และมีการจัดเรียงตัวอยู่ที่ผิว (surface exposed) ของเอนไซม์ โดยที่กรดอะมิโน Trp70 จะอยู่นอกสุดและ Trp231 จะอยู่ด้านในสุดติดกับปลายด้านรีดิวซ์ (รูปที่ 3.6)



รูปที่ 3.6 แบบจำลองโครงสร้างสามมิติของไคตินase เอ จากแบคทีเรีย *V. carchariae* ที่แสดงตำแหน่งของกรดอะมิโน Ser33 Trp70 Trp231 และ Tyr245 ที่บีบเวณด้านนอกโมเลกุลของไคตินase (แหล่งที่มา Pantom et al., BMC-Biochem, 2008)

การทดลองศึกษาผลของการกลยุทธ์ต่อการจับกับสับสเตรทโดยการทำ chitin binding assay พนงว่าเอนไซม์กลยุทธ์ W70A จะจับกับ colloidal chitin ได้น้อยที่สุด ส่วนเอนไซม์ W231A จับไคตินได้มากที่สุดโดยเอนไซม์ที่ศึกษาทั้งหมดมีลำดับของการจับไคตินเมื่อเทียบกับไคตินสดดังเดิมดังนี้คือ W231A>S33W>WT $\cong$ W231F>S33A>Y245W>W70A โดยผลของการจับแสดงไว้ในรูปที่ 3.7A และ 3.7B



รูปที่ 3.7 การจับของโปรตีนกลยุทธ์ที่ผิวโปรตีนกับไคติน A) ผลของเวลาต่อการจับ B) การจับของโปรตีนกลยุทธ์กับไคตินสองชนิดคือ colloidal chitin (closed bar) และ crystalline chitin (open bar) สัญลักษณ์คือ wild-type (■); S33A (▲); S33W (▼); W70A (◆); W231A (●); W231F (□); และ Y245W (△) (แหล่งที่มา Pantom et al., BMC-Biochem, 2008)

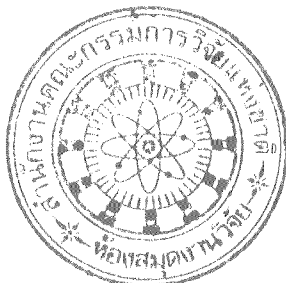
เมื่อศึกษาผลของการกลยุทธ์ต่อค่า hydrolytic activity ของเอนไซม์ต่อสับสเตรทสามชนิดคือ pNP-[GlcNAc]<sub>2</sub> crystalline chitin และ colloidal chitin ดังแสดงในตารางที่ 3.2 พบว่าการกลยุทธ์มีผลต่อการเปลี่ยนแปลงค่า hydrolytic activity ของ pNP สับสเตรทเพียงเล็กน้อย แต่พบว่าโปรตีนกลยุทธ์ S33A W70A W231A และ W231F ให้ค่าแอคติวิตี้ต่อสับสเตรทสามยาวคือ colloidal chitin และ crystalline chitin ลดลงอย่างมาก เมื่อเทียบกับโปรตีนดังเดิม ส่วนโปรตีนกลยุทธ์ S33W และ Y245W จะให้ค่าแอคติวิตี้สูงขึ้น

ตารางที่ 3.2 ผลของการกลยุทธ์ต่อค่า hydrolytic activity ของเอนไซม์โคติเนส เอ (แหล่งที่มา Pantoom et al., BMC-Biochem, 2008)

Protein	Specific hydrolyzing activity (U/ $\mu$ mol protein) <sup>a</sup>		
	Crystalline chitin	Colloidal chitin	pNP-[GlcNAc] <sub>2</sub>
Wild-type	0.59 ± 0.02 (100) <sup>b</sup>	12.9 ± 0.22 (100)	50.5 ± 1.13 (100)
S33A	n.d. <sup>c</sup>	8.5 ± 0.50 (66)	58.0 ± 1.08 (115)
S33W	1.00 ± 0.08 (166)	15.3 ± 0.32 (119)	54.0 ± 2.55 (107)
W70A	n.d.	4.3 ± 0.17 (33)	52.8 ± 2.14 (105)
W231A	n.d.	6.6 ± 0.26 (51)	45.2 ± 2.00 (90)
W231F	n.d.	9.2 ± 0.49 (71)	54.3 ± 2.85 (108)
Y245W	1.49 ± 0.09 (250)	19.6 ± 0.53 (152)	53.6 ± 1.61 (106)

<sup>a</sup> One unit of chitinase is defined as the amount of enzyme that releases 1  $\mu$ mol of [GlcNAc]<sub>2</sub> or 1 nmol of pNP per min at 37°C.  
<sup>b</sup> Values in parentheses represent relative specific hydrolyzing activities (%).  
<sup>c</sup> Non-detectable activity.

การศึกษาค่าทางจลนพศาสตร์กับ chitohexamer กับ colloidal chitin พบว่าโปรตีนกลยุทธ์ทุกตัวให้ค่า  $K_m$  ต่อสับสเตรทไคลโอลิกไซด์carboxylate ลดลงเล็กน้อย และไม่มีผลอย่างมีนัยสำคัญกับค่า  $k_{cat}$  และค่า  $k_{cat}/K_m$  ของเอนไซม์ ในทางตรงข้ามกับโปรตีนกลยุทธ์ S33A W70A W231A และ W231F ให้ค่า  $k_{cat}$  และค่า  $k_{cat}/K_m$  ต่อสับสเตรทสามยาว (colloidal chitin) น้อยลงมาก โปรตีนกลยุทธ์ที่ให้ค่า  $k_{cat}/K_m$  น้อยที่สุดคือ W70A ดังแสดงในตารางที่ 3.3

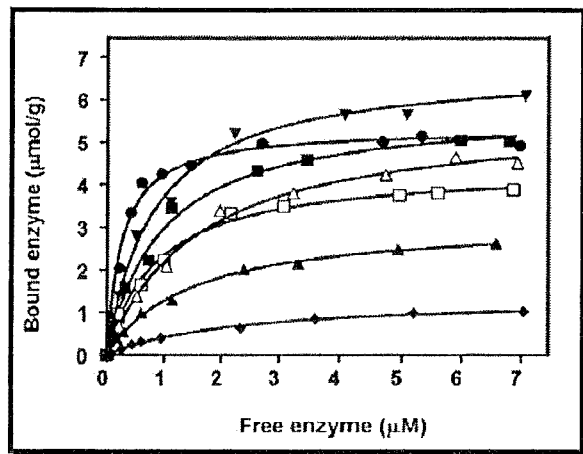


ตารางที่ 3.3 ผลของการกลยุทธ์ต่อค่าจลนพลศาสตร์ของเอนไซม์ไดติเนส เอ (แหล่งที่มา Pantom et al., BMC-Biochem, 2008)

Chitinase A variant	Chitohexaose			Colloidal chitin		
	$K_m(\mu\text{M})$	$k_{cat}(\text{s}^{-1})$	$k_{cat}/K_m(\text{s}^{-1}\text{M}^{-1})$	$K_m(10^3 \text{ mg ml}^{-1})$	$k_{cat}(\text{s}^{-1})$	$k_{cat}/K_m(10^{-1} \text{ s}^{-1} \text{ mg ml}^{-1})$
Wild-type	218 ± 22.0	2.9	1.3 × 10³ (100) <sup>a</sup>	1.74 ± 0.1	1.2	0.7 (100)
S33A	171 ± 20.5	2.6	1.5 × 10³ (115)	2.07 ± 0.2	0.9	0.4 (57)
S33W	210 ± 15.4	2.8	1.3 × 10³ (100)	1.58 ± 0.2	1.4	0.9 (129)
W70A	185 ± 22.0	2.5	1.3 × 10³ (100)	2.26 ± 0.4	0.4	0.2 (29)
W231A	189 ± 13.2	2.6	1.4 × 10³ (108)	1.01 ± 0.2	0.6	0.6 (86)
W231F	163 ± 10.3	2.4	1.5 × 10³ (115)	1.70 ± 0.2	0.9	0.5 (71)
Y245W	201 ± 13.1	2.6	1.3 × 10³ (100)	1.82 ± 0.2	1.7	0.9 (129)

<sup>a</sup> Relative catalytic efficiencies (%) are shown in parentheses.

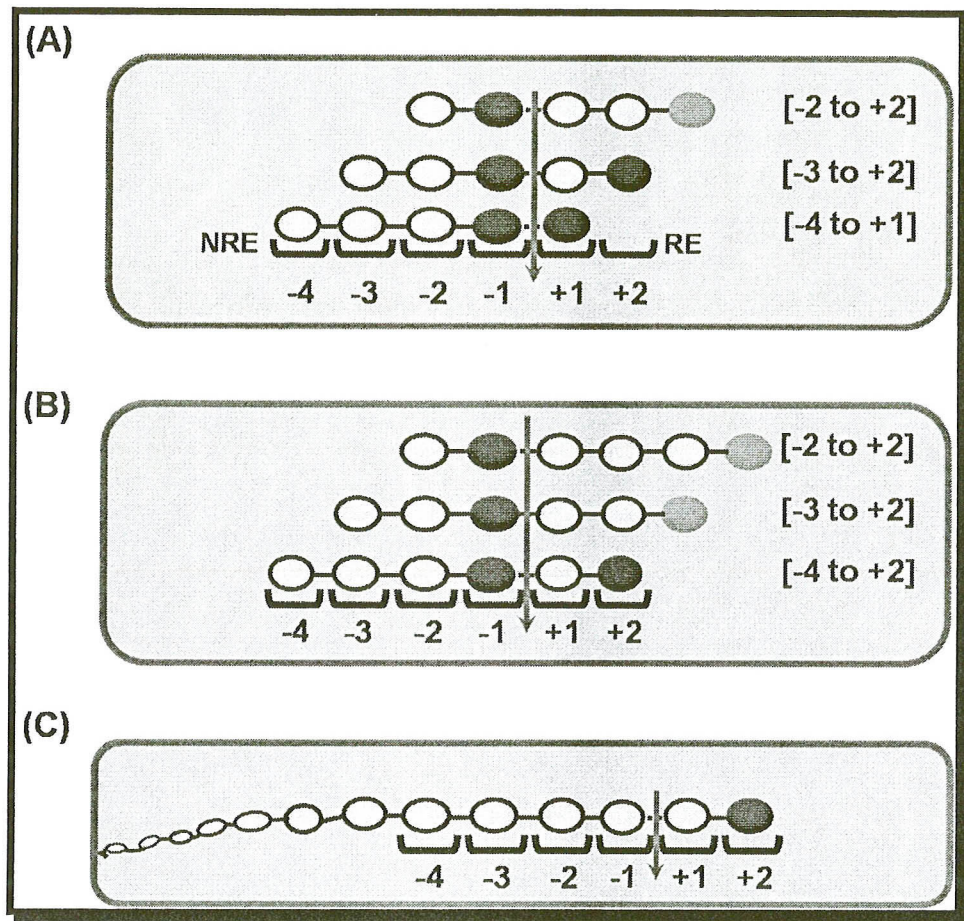
การศึกษาค่า adsorption isotherms พบว่า S33W และ W231A ให้ค่าการจับกับ colloidal chitin ซึ่งกว่าโปรตีน wild-type ส่วน ไดติเนสกลยุทธ์ W70A, S33A, W231F และ Y245W ให้ค่าการจับกับไคตินน้อยกว่า เมื่อคำนวณหาค่า dissociation binding constants ( $K_d$ ) จากกราฟในรูปที่ 3.8 ให้ค่า  $K_d$  ของ wild-type เป็น  $0.95 \pm 0.11 \mu\text{M}$  ซึ่งสูงกว่าค่า  $K_d$  ของ S33W ( $0.84 \pm 0.09 \mu\text{M}$ ) และของ W231F ( $0.88 \pm 0.09 \mu\text{M}$ ) เล็กน้อย แต่ต่ำกว่าค่าของ W231A ( $0.26 \pm 0.03 \mu\text{M}$ ) อาย่างมีนัยสำคัญ ในทางตรงข้ามค่า  $K_d$  ของ S33A ( $1.50 \pm 0.11 \mu\text{M}$ ) ของ W70A ( $2.30 \pm 0.25 \mu\text{M}$ ) และของ Y245W ( $1.60 \pm 0.16 \mu\text{M}$ ) มีค่ามากกว่าค่าของ wild-type จากค่า  $K_d$  ที่ได้สามารถสูปความสามารถในการจับกับสับสารหรือเป็นลำดับดังนี้คือ W231A > S33W > W231F > wild-type > S33A > Y245W > W70A ผลการทดลองที่ได้สอดคล้องกับผลของ chitin binding assay และค่าทางจลนพลศาสตร์ทั้งสองในรูปที่ 3.7 และตารางที่ 3.3 ตามลำดับ



รูปที่ 3.8 Adsorption binding isotherms ของโปรตีนกลาญพันธุ์ที่ผูกไปร่วมกับ colloidal chitin (closed bar) สัญลักษณ์คือ wild-type (■); S33A (▲); S33W (▼); W70A (◆); W231A (●); W231F (□); และ Y245W (△) (แหล่งที่มา Pantom et al., BMC-Biochem, 2008)

### 3.3. การศึกษาการเลือกจับของสับสเตรทบนบริเวณเร่งและการเลือกใช้อะโนเมอร์ของเอนไซม์โคติดีนส์

งานวิจัยขึ้นต่อมาได้ทำการศึกษาความเลือกจับของสับสเตรทnidotide บนบริเวณ substrate binding subsites ของเอนไซม์ โดยใช้เทคนิค quantitative HPLC MS จากข้อเสนอของ Watanabe และ ผู้ร่วมวิจัย (Imai et al., 2002) ที่ว่า n-acetylglucosidase รีดสายสั้นจะเข้าจับกับบริเวณจับแบบสุ่ม ส่วน n-acetylglucosidase ที่มีสายยาวเข้าสู่บริเวณเร่งโดยการ feed เข้าจากทางด้านโดเมนจับโคติน (ChBD) ด้านเดียวเท่านั้น ในการทดลองนี้จึงได้เสนอถลูกไก่การเข้าจับของ n-acetyl pentaNAG และ hexoNAG ซึ่งเป็นตัวแทนของน้ำตาลสายสั้น และโคตินสายยาว ดังแสดงในรูปที่ 3.9



รูปที่ 3.9 กลไกการจับของน้ำตาลไคโตโอลิกาแซคคาเรียร์เรตและไคตินที่บิเวณเร่งของเอนไซม์ไคตินส์ (A) pentaNAG hydrolysis; (B) hexaNAG hydrolysis; และ (C) chitin hydrolysis (ແລ້ວທີ່ມາ Suginta et al., J Chem Biol, 2009)

จากรูปจะเห็นว่า�้ำตาล pentaNAG จะสามารถจับบนบิเวณจับได้สามแบบคือ 1) จับที่ subsites -4 ถึง +1; 2) จับที่ subsites -3 ถึง +2; และ 3) จับที่ subsites -2 ถึง +2 (รูปที่ 3.9A) ขณะที่�้ำตาล hexaNAG ก็สามารถจับที่บิเวณจับได้สามแบบเช่นกันคือ คือ 1) จับที่ subsites -4 ถึง +2; 2) จับที่ subsites -3 ถึง +2; และ 3) จับที่ subsites -2 ถึง +2 (รูปที่ 3.9B) ส่วนไคตินสายยาวจะจับได้แบบเดียวคือ ปลายด้านเรดิวซ์จะเริ่มที่บิเวณ +2 ส่วนปลายด้านนอกเรดิวซ์ขยายมาทางด้านบิเวณ -4 และด้านโดยเมนจับไคตินดังรูปที่ 3.9C

การศึกษาการย่อยที่เวลาเริ่มต้นที่  $0^{\circ}\text{C}$  แล้วตรวจหาปริมาณของผลิตผลที่เกิดขึ้นโดยเทคนิค quantitative HPLC ESI/MS พบร้าไคตินสัดสัมภพเดิมย่อยสับสเตรท pentaNAG จะถูกย่อยเป็นผลิตผลสองชนิดคือ  $\text{NAG}_2$  และ  $\text{NAG}_3$  และย่อย hexaNAG ให้เป็น  $\text{NAG}_2$ ,  $\text{NAG}_3$  และ  $\text{NAG}_4$  ซึ่งแสดงว่าการตัดพันธะ

ไกลโคซิติกเกิดขึ้นสองตำแหน่งคือ ตำแหน่งที่สองจากปลายสายและตำแหน่งกลางสายน้ำตาล ส่วนการประมาณเปอร์เซ็นต์ของปฏิออกไซด์ของผลิตผลน้ำตาลที่ได้เดาแสดงไว้ในตารางที่ 3.4

ตารางที่ 3.4 การประมาณผลิตผลที่เกิดขึ้นจากการสลายไกโอลิโกแซคคาเร่โดยวิธี quantitative HPLC MS analysis (แหล่งที่มา Suginta et al., J Chem Biol, 2009)

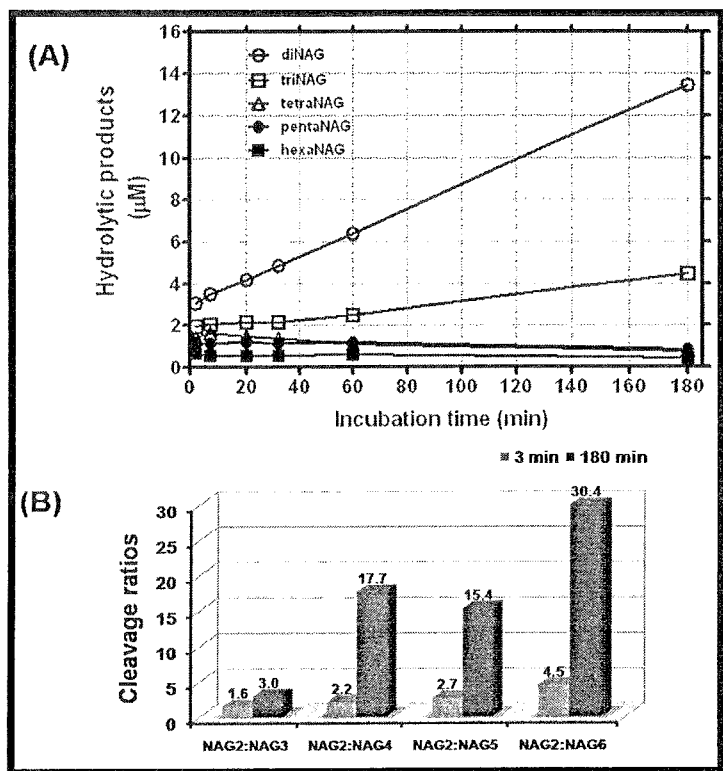
Substrate	Enzyme	The β content of initial products				
		NAG1	NAG2	NAG3	NAG4	NAG5
pentaNAG (NAG5)	Wild-type	-	92 (100) <sup>a</sup>	41(42)	-	-
	W275G	-	92	68	-	-
	W397F	85	69	100	100	-
hexaNAG (NAG6)	Wild-type	-	90(100) <sup>b</sup>	67(71)	45(48)	-
	W275G	-	90	64	82	-
	W397F	40	66	100	100	100

<sup>a</sup>The values in brackets are the expected values from the -2 to +2 binding mode for NAG5 hydrolysis.  
<sup>b</sup>The values in brackets are the expected values from a combination of the -3 to +2 and -2 to +2 modes for NAG6 hydrolysis.

ผลการทดลองในตารางที่ 3.4 พบว่าเปอร์เซ็นต์การย่อย pentaNAG ด้วย wild-type chitinase ได้เป็น 92%  $\beta$ NAG<sub>2</sub> และ 41%  $\beta$ NAG<sub>3</sub> ซึ่งสอดคล้องกับเปอร์เซ็นต์คำนวนของผลิตผล (100%  $\beta$ NAG<sub>2</sub> และ 42%  $\beta$ NAG<sub>3</sub>) ที่ได้จากการย่อยที่เกิดจากการจับของสับสเตรทโดยใช้ -2 to +2 binding mode ส่วนเปอร์เซ็นต์การย่อย hexaNAG ได้เป็น 90%  $\beta$ NAG<sub>2</sub>, 67%  $\beta$ NAG<sub>3</sub>, และ 45%  $\beta$ NAG<sub>4</sub> สอดคล้องกับคำนวนของผลิตผลที่ได้จากการจับของสับสเตรทโดยใช้กลไกแบบสมรรถห่วง -3 to +2 binding mode กับ -2 to +2 binding mode คือ 100%  $\beta$ NAG<sub>2</sub>, 71%  $\beta$ NAG<sub>3</sub>, และ 48%  $\beta$ NAG<sub>4</sub> ตามลำดับ (ตารางที่ 3.4 ค่าในวงเล็บ)

ส่วนผลของการสลายไคตินพบว่าเอนไซม์ไคตินสย่อยไคตินเป็นน้ำตาลไกโอลิโกแซคคาเร่สายสั้น ๆ มีขนาดตั้งแต่ NAG-NAG<sub>6</sub> ซึ่งสอดคล้องกับงานวิจัยที่ได้ศึกษามาก่อนแล้วแต่ NAG<sub>2</sub> จะเป็นผลิตผลหลักของการย่อย โดยที่เวลาเริ่มต้นของการย่อย (3 นาที) เอนไซม์ผลิต NAG<sub>2</sub> ได้ประมาณ 3  $\mu$ M และที่สิ้นสุดของปฏิกริยาจะได้ NAG<sub>2</sub> บริมาณ 13  $\mu$ M ส่วนผลิตผลรองลงมาก็อ NAG<sub>3</sub> ที่ผลิตได้ในช่วงต้นคือ 2  $\mu$ M และสิ้นสุดที่ 4  $\mu$ M ส่วนผลิตผลอื่นจัดเป็น intermediate ที่สร้างในปริมาณน้อย (น้อยกว่า 2  $\mu$ M) ผลการทดลองที่ได้ยืนยันว่าเอนไซม์ไคตินสยัดสายไคตินในลักษณะผสมคือสายน้ำตาลสั้น ๆ ตั้งแต่ 3 หน่วยขึ้นไปเกิดจากการจับแบบ random binding และโดยการตัดด้วย endo activity ส่วนน้ำตาล NAG<sub>2</sub> เกือบทั้งหมดถูกสร้างโดยกลไกแบบ feeding โดยการตัดด้วย exo activity (รูปที่ 3.10A) เมื่อคำนวนค่า

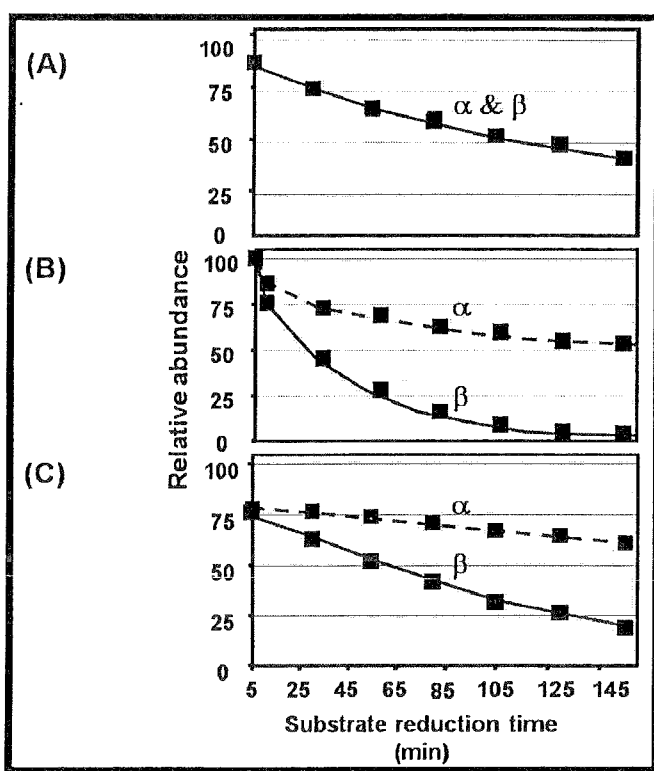
cleavage ratio ของน้ำตาล NAG<sub>2</sub> กับน้ำตาลผลิตผลอื่น ๆ เทียบกันระหว่างเวลาอยู่เริ่มต้นที่ 3 นาที กับเวลาสิ้นสุดในการทำปฏิกิริยาที่ 3 ชั่วโมงพบว่าสัดส่วนนี้ของ NAG<sub>2</sub> ต่อน้ำตาลชนิดต่าง ๆ มีค่าสูงขึ้นทั้งหมด กล่าวคือ NAG<sub>2</sub>:NAG<sub>3</sub> สูงขึ้น 1.9 เท่า NAG<sub>2</sub>:NAG<sub>4</sub> สูงขึ้น 9 เท่า NAG<sub>2</sub>:NAG<sub>5</sub> สูงขึ้น 5 เท่า และ NAG<sub>2</sub>:NAG<sub>6</sub> สูงขึ้น 6 เท่า (รูปที่ 3.10B) ซึ่งอัตราส่วนของ NAG ต่อน้ำตาล ๆ อื่น ๆ ที่สูงขึ้นที่เวลาในการทำสลายนานขึ้นแสดงว่าการตัดพันธะน่าจะเกิดขึ้นโดยขบวนการ feeding และแสดงถึงการย่อยสายไฮดราซินแบบ progressive hydrolysis



รูปที่ 3.10 ปริมาณของผลิตผลที่เกิดขึ้นจากปฏิกิริยาการย่อย chitin โดยวิธี quantitative HPLC MS (A) Time course of chitin hydrolysis (B) Cleavage ratios (แหล่งที่มา Suginta et al., J Chem Biol, 2009)

การทดลองต่อมาคือการศึกษาผลของการแยกย่อยพันธุ์ต่อการเลือกใช้ออนเมอร์ของสับสเตรท ดังแสดงในรูปที่ 3.11A พบร่วมกันในช่วงเวลาในการทำปฏิกิริยาตั้งแต่ 0-150 นาที พบร่วมกับอัตราการสลาย β-anomer ของสับสเตรทไม่แตกต่างจากอัตราการสลาย α-anomer ทั้งนี้แสดงให้เห็นว่าสับสเตรท นำจะจับกับบริเวณเจาะของเอนไซม์โดยที่ปลายด้านขวาซึ่งมีช่องอก substrate binding subsites และอยู่ในสารละลายในโครงรูป β - หรือ α -anomer อยู่ในปริมาณสมดุล (48% β และ 52% α) ผลการทดลองแสดงคล้องกับการจับของสับสเตรท hexaNAG แบบ -3 to +2 และ +2 to +2 binding modes (รูปที่ 3.9B) เมื่อทำการเปลี่ยนกรดอะมิโนที่ปลายด้านขวาซึ่งสองตัวคือ Trp275 เป็น Gly และ Trp397 เป็น Phe พบร่วมกัน

โปรตีนกลาบพันธุ์ทั้งสองคือ W275G และ W397F มีความสามารถในการใช้ออนเมอร์ของสับสเตรทเปลี่ยนไปกล่าวคือให้อัตราการสลาย  $\beta$ -anomer ได้ดีกว่า  $\alpha$ -anomer มากเมื่อเทียบกับอัตราการสลายของโปรตีนดังเดิม (รูปที่ 3.11B,C) กรดอะมิโน Trp275 มีความสำคัญกับการจับกับน้ำตาล GlcNAc ที่ตำแหน่ง  $\gamma$ -อย (cleavage site, -1 to +1) ส่วนกรดอะมิโน Trp397 มีความสำคัญต่อการเลือกจับของเอนไซม์กับน้ำตาลด้านปลายรีดิวช์คือ +2NAG จากการศึกษาโครงสร้างของเอนไซม์โคติดีนส์ เอก กลาบพันธุ์กับน้ำตาล pentaNAG และ hexaNAG (Songsiriritthigul et al., 2008) พบว่าการจับกับน้ำตาลที่บริเวณร่องเกิดขึ้นด้วยพันธะไฮโดรเจนและแร่ไฮดรอฟิลิกเป็นหลัก การเปลี่ยนชนิดของกรดอะมิโน Trp275 เป็นกรดอะมิโน Gly ทำให้มีผลกระหบดื่องไฮดรอฟิลิกที่กระทำต่อน้ำตาลที่ตำแหน่ง -1 และ +1 สงผลให้มีการเปลี่ยนการเลือกจับของเอนไซม์โดยมีการเลื่อนตำแหน่งของสายสับสเตรทไปทางด้านอนรีดิวช์ได้เล็กน้อย จากตารางที่ 3.4 จะเห็นว่าการสลายน้ำตาล hexaNAG จะให้ผลิตผลที่เป็น  $NAG_2$ ,  $NAG_3$ , และ  $NAG_4$  เมื่ออนเดิมแต่เปลี่ยนตัวของ  $\beta$  content ที่ได้เปลี่ยนไปจากเดิมแสดงว่าสายน้ำตาลมีการเข้าจับที่บริเวณร่องเปลี่ยนไปนอกจากนี้โปรตีนกลาบพันธุ์ W275G ยังให้ค่าความจำเพาะต่อสับสเตรท (substrate specificity) ทั้งสามตัวคือ pentaNAG hexaNAG และ colloidal chitin ลดลงประมาณ 5 เท่า โดยมีการเปลี่ยนค่าความชอบในการจับ (affinity of binding,  $K_m$ ) ต่อสับสเตรท เล็กน้อย แต่ค่าคงที่ในการสลาย (catalytic rate,  $k_{cat}$ ) ลดลงอย่างมากเมื่อเทียบกับค่าที่ได้จากการสลายดั้งเดิม (ตารางที่ 3.5)



รูปที่ 3.11 ปริมาณของผลิตผลที่เกิดขึ้นจากปฏิกิริยาการย่อย chitin โดยวิธี quantitative HPLC MS (A) Time course of chitin hydrolysis (B) Cleavage ratios (แหล่งที่มา Suginta et al., J Chem Biol, 2009)

ส่วนการเปลี่ยนกรดอะมิโน Trp397 เป็น Phe อาจทำให้เกิดผลผลกระทบต่อแรงไฮดรอฟิกที่ทำกับน้ำตาลด้านปลายรีดิวช์ทำให้ความสามารถในการเลือกจับลดลด เช่นกันแต่กรดอะมิโนในนี้ไม่ได้อยู่ในตำแหน่งอยู่เหมือนกับ Trp275 ดังนั้นการเปลี่ยนกรดอะมิโนจึงไม่มีผลกระทบกับอัตราการย่อย ผลกระทบของการ glycanase คือทำให้สายน้ำตาลไคโตโอลิโกแซคคาเรียร์เดชัยบนาทางด้านปลายอนรีดิวช์ได้และอาจจับกับตำแหน่งจับแบบยึดหยุ่นมากขึ้นทำให้โอกาสที่พันธะไกลโคซิติกของน้ำตาลที่ตำแหน่งต่างๆ จะพบกับตำแหน่งย่อยได้มากขึ้นผลคือทำให้ผลิตผลในการย่อยหางหลากรสปีชีส์ตั้งแต่ NAG-NAG<sub>5</sub> ดังแสดงในตารางที่ 3.4 และทำให้ค่าคงที่ทางจนพลศาสตร์เปลี่ยนไปด้วยโดยไปเพิ่มค่า  $k_{cat}$  ของการสลายน้ำตาล pentaNAG และ hexaNAG เป็น 8 และ 60 เท่าตามลำดับ (ตารางที่ 3.5)

ตารางที่ 3.5 ค่าจันพลศาสตร์ของการสลายสับสเตรทไคโตโอลิโกแซคคาเรียร์และไคตินของเอนไซม์ไคตินสังเคราะห์เดิมและเอนไซม์ไคตินสกัดจากพันธุ์ (แหล่งที่มา Suginta et al., J Chem Biol, 2009)

Chitinase A	pentaNAG			hexaNAG			colloidal chitin		
	$K_m$ ( $\mu\text{M}$ )	$k_{cat}$ ( $\text{s}^{-1}$ )	$k_{cat}/K_m$ ( $\text{s}^{-1}\text{M}^{-1}$ )	$K_m$ ( $\mu\text{M}$ )	$k_{cat}$ ( $\text{s}^{-1}$ )	$k_{cat}/K_m$ ( $\text{s}^{-1}\text{M}^{-1}$ )	$K_m$ ( $\text{mg ml}^{-1}$ )	$k_{cat}$ ( $\text{s}^{-1}$ )	$k_{cat}/K_m$ ( $\text{s}^{-1}\text{mg ml}^{-1}$ )
Wild-type	$380 \pm 49$ (1)	$0.21$ (1)	$5.6 \times 10^{-4}$ (1)	$174 \pm 23$ (1)	$0.19$ (1)	$1.1 \times 10^{-4}$ (1)	$12 \pm 1.4$ (1)	$0.10$ (1)	$88 \times 10^{-4}$ (1)
W275G	$315 \pm 110$ (0.8)	$0.04$ (0.2)	$1.3 \times 10^{-4}$ (0.2)	$238 \pm 17$ (1.4)	$0.06$ (0.3)	$2.3 \times 10^{-4}$ (2.1)	$25 \pm 3.7$ (2.1)	$0.02$ (0.2)	$6.7 \times 10^{-4}$ (0.1)
W397F	$476 \pm 11$ (1.3)	$2.11$ (10)	$44 \times 10^{-4}$ (8)	$460 \pm 53$ (2.6)	$3.0$ (16)	$65 \times 10^{-4}$ (59)	$19 \pm 0.1$ (1.6)	$0.03$ (0.3)	$14 \times 10^{-4}$ (0.2)

จากตารางที่ 3.11 จะเห็นว่าการ glycanase ของกรดอะมิโน Trp275 และ Trp397 ให้ผลต่อค่าจันพลศาสตร์ของการสลายไคตินต่างจากค่าจันพลศาสตร์ของการสลายไคโตโอลิโกแซคคาเรียร์ เนื่องจากกลไกการจับของสับสเตรททั้งสองไม่เหมือนกัน ส่วนของไคตินจะเข้าจับโดยปลายด้านรีดิวช์จะเคลื่อนเข้าทางด้านปลายของโดเมนจับไคตินโดยการจับระหว่างสายของไคตินโพลีเมอร์กับ surface-exposed residues เช่น Tyr31, Trp70, Trp231 และ Tyr245 และ ดังนั้นการเปลี่ยนกรดอะมิโนในด้านปลายรีดิวช์ เช่น Trp397 และ Trp275 จะทำหน้าที่ในการช่วยดึงสายของน้ำตาลให้เข้าสู่ substrate binding subsites จากด้านอนรีดิวช์ (-4) มาอยังด้านรีดิวช์ (+2) ดังนั้นการเปลี่ยนกรดอะมิโนที่ตำแหน่ง -1, +1, +2 ทำให้ลดความสามารถในการจับกับน้ำตาลด้านปลายรีดิวช์และทำให้อ่อนไชมี processivity ต่อสับสเตรทน้อยลง ข้อสันนิษฐานนี้สอดคล้องกับผลการจันพลศาสตร์ของการสลายไคตินด้วยโปรตีน glycanase W275G และ W397F ให้ค่า  $K_m$  เพิ่ม ส่วนค่า  $k_{cat}$  ลดลงอย่างมาก